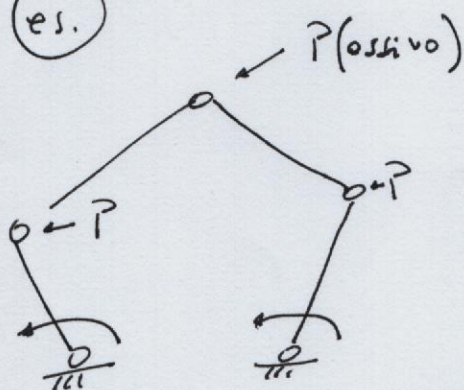


Parallel robots

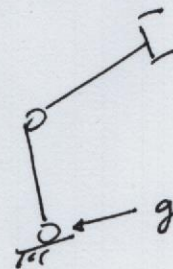
11

- molti giunti sono passivi

(es.)

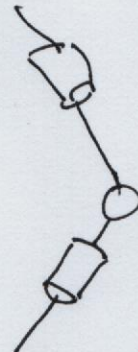
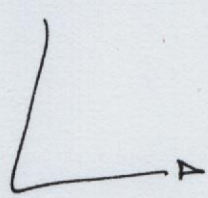


Non avviene così nei robot seriali

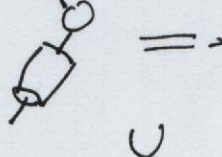


- giunti utilizzati

- universal joints
- spherical joints



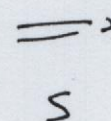
SIMBOLI



v

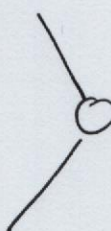


≥ Dof
relativi



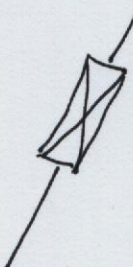
3 Dof
relativi

R

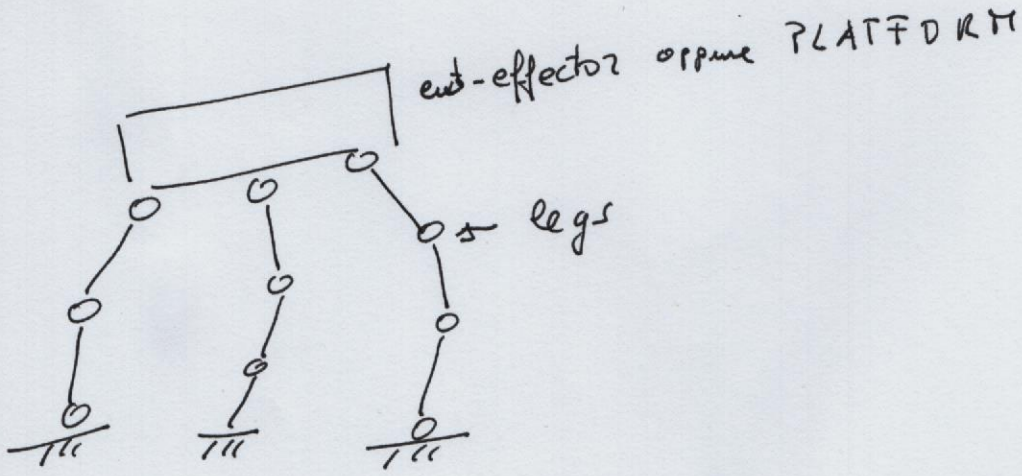


rotational

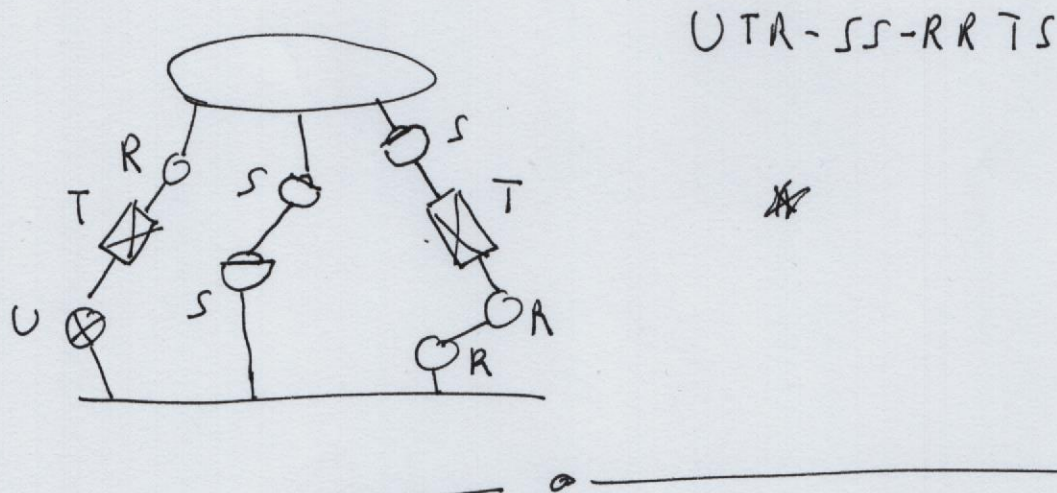
T



translational



Demonstrazioni



gradi di libertà relativi e constraints per ogni joint

$$c_i = \lambda - f_i \quad (1)$$

↗ ↑ ↘

vincoli classe delle
di forte coppie

↑

perché si è nello
spazio

es. universal $\rightarrow c_i = 6 - 2 = 4$

Grobler equation $\sum_{i=1}^n c_i = F$ \rightarrow n° joints

$F = N \cdot 6 - \sum_{i=1}^n c_i \quad (2)$

↗ ↘

GDL robot n° corpi
rigidi vincolo introdotto da ogni joint

Elaborando (si sostituisce (1) in (2))

$$\bar{F} = N \cdot 6 - \sum_{i=1}^n (6 - f_i) = (N-n)6 + \sum_{i=1}^n f_i$$

- \bar{F} è anche il numero di otturatori

Per quanto riguarda i robot seriali:

$$N = n \Rightarrow \bar{F} = \sum_{i=1}^n f_i = n$$

se vi sono solo coppie rotoidali e
prismatiche

Esempio applicato al robot (K) visto prima

UTR-SS-RRTS

$$\begin{aligned} \bar{F} &= 6(N-n) + \sum_{i=1}^n f_i = \\ &= 6(7-9) + (5 + 2 + 3 \times 3) = 4 \end{aligned}$$

3 jointi sfenici

non si conta
il telaio e contare
uno volto solo la
piattaforma

rotoidali
e
prismatiche

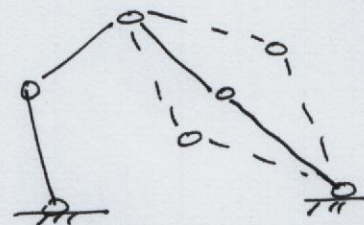
1 universo
joints

Vantaggi robot paralleli

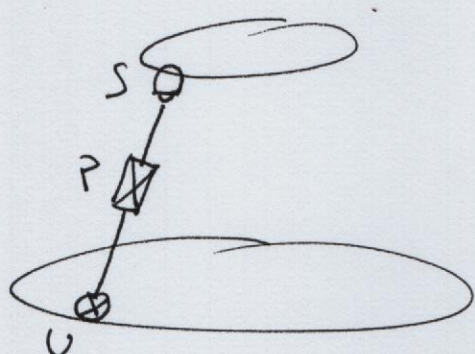
- carico
- rigidità \Rightarrow ~~less~~ accuracy
- velocità \Rightarrow frequenze di risposta elevate
- semplicità costruttiva

Svantaggi:

- spazio di lavoro limitato
- kinematico complesso
- singolarità \Rightarrow cause fallo



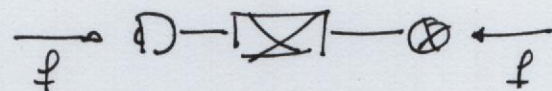
Stewart Platform



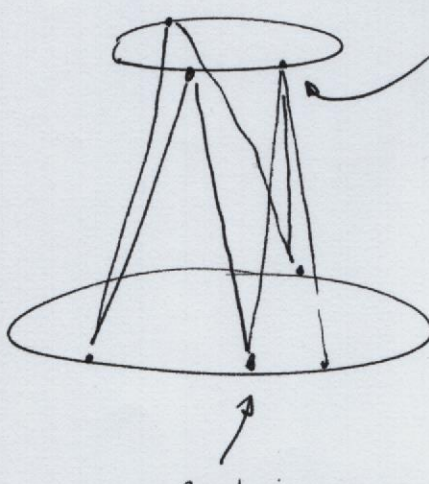
G.D.L.

$$\bar{f} = 6(12+1-18) + 36 = 6$$

- si usano 6 motori che eseguono le traslazioni
 \Rightarrow forza solo longitudinale



- Configurazione sverificata



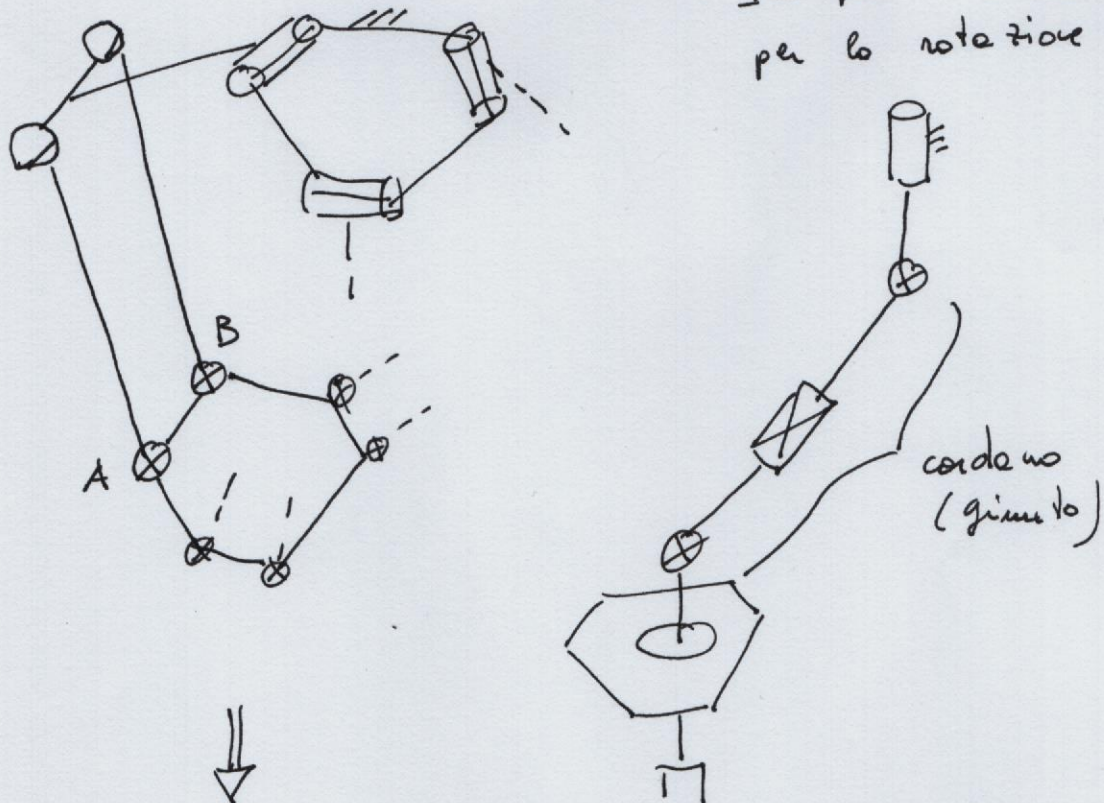
Punto in comune

Punto in colonna

Delta robot

- obiettivo della cinematica \Rightarrow robot fermo
- ha 3uni 3 ruote rotatorie in 3 di base

- In più c'è un asse centrale per la rotazione



$$\bar{F} = 6(10 - 15) + (3 + 3 \cdot 6 + 2 \cdot 6) = 3$$

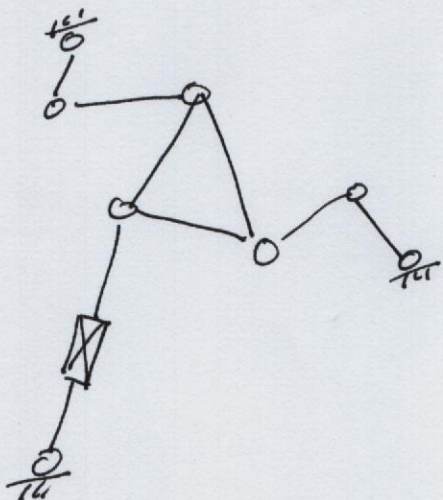
↓ ↓ ↓
 2 bidoni sfario universo

- gli parallelogrammi fanno in modo che ogni lato (e.g. \overline{AB}) sia sempre parallelo al piano \Rightarrow la piattaforma non ruote
- il sistema è leggero perché tutti i motori stanno alla base
 \Rightarrow iniezione bassa

Robot risci

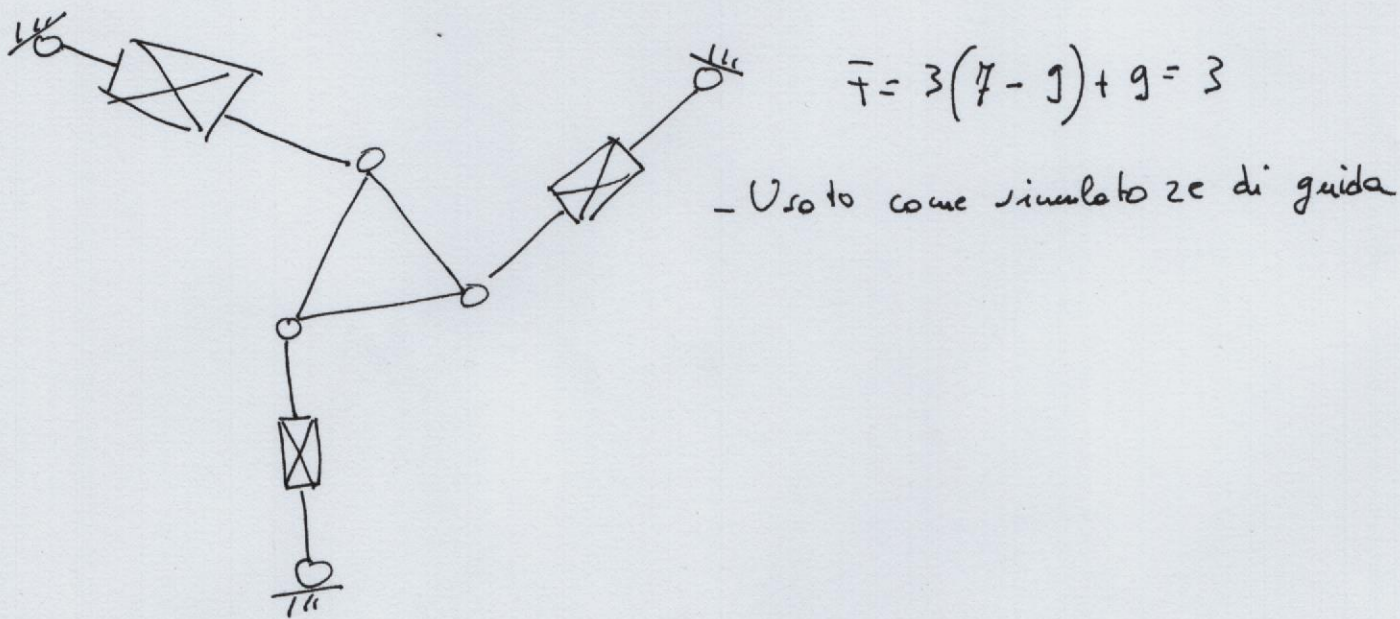
es.

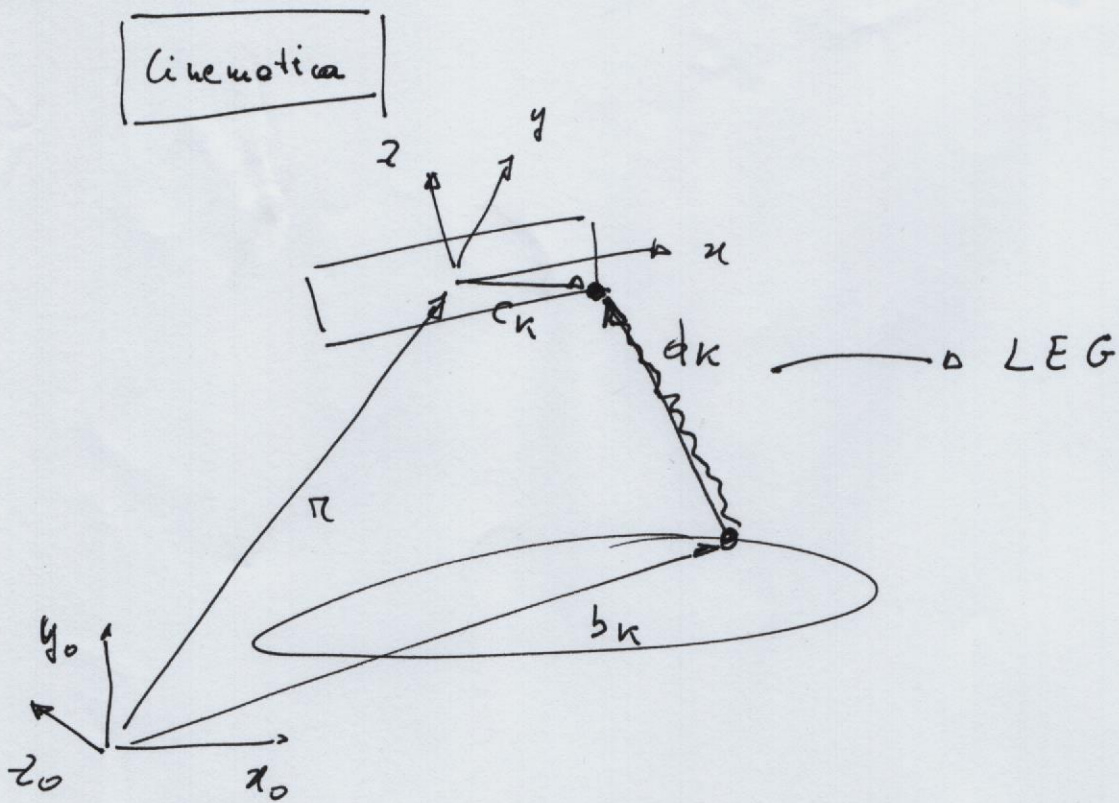
RTR - RRR - RRR



$$\bar{F} = 3(7 - 9) + (9) = 3$$

Caso che non c'è sul libro ma è reale
(Mastrou video VI Grado)





- $x-y-z$ attaccato alla piattaforma
- $x_0-y_0-z_0$ reference frame
- π posizione della piattaforma
- $\psi, \delta, \varphi \rightarrow$ angoli di orientazione della piattaforma
 $= R(\psi, \delta, \varphi)$
- $b_k =$ posizione del piede di gamba (rispetto a x_0, y_0, z_0)
- $c_k =$ " delle testa di gamba (" o $x-y-z$)

equazioni di chiusura

$$\pi + R c_k - d_k - b_k = 0 \quad k = 1, \dots, 6$$

in coordinate omogenee

se si tratta della
Stewart-platform

$$d_k = H c_k \text{ , dove}$$

$$H = \begin{bmatrix} R & \pi - b_k \\ 0 & 0 & 0 & 1 \end{bmatrix} \quad (\#)$$

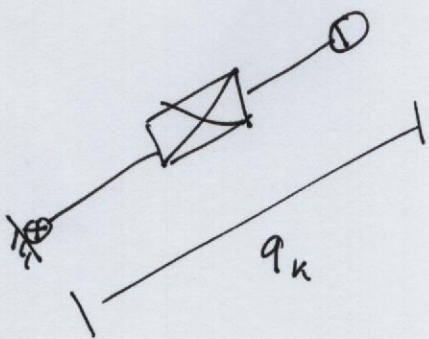
Cinematica inversa

[8]

$\left\{ \begin{array}{l} R \\ r \end{array} \right\}$ sono gli input =, si calcola d_k con le (4)

$$q_k = \text{velocità di giunto} = \|d_k\| = \|\tau + R c_k - b_k\|$$

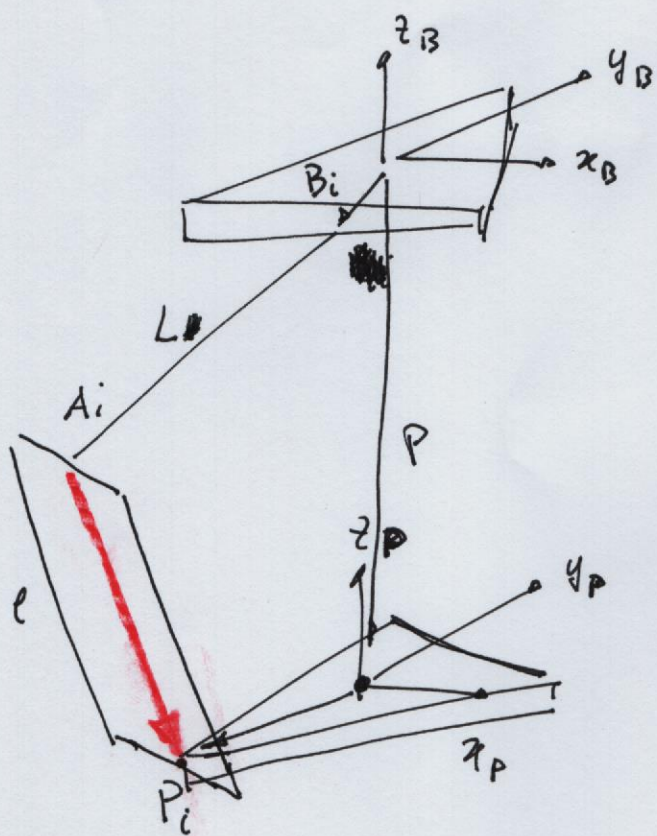
(lunghezza gamba)



Cinematica diretta ?

non c'è una forma chiusa

Delta robot: cinematica p. 11 delle direzive
"DeltaKin"



$$x_B - y_B - z_B = \text{frame di base}$$

$$x_P - y_P - z_P = \text{frame della piattaforma}$$

P = punto della piattaforma rispetto alle coordinate della base = $\begin{pmatrix} x \\ y \\ z \end{pmatrix}$

- g_1, g_2, g_3 sono le coordinate dei giunti

Analisi cinematica inversa:

- suggerimento: A_i deriva dall'intersezione del cerchio centrato in B_i (e di raggio L) e la sfera centrale in P_i (e di raggio l)
- Si scrive la seguente equazione per ogni gamba

$$B_i + L + l = P + P_i$$

costante espresso nel sistema di base

costante (la piattaforma non ruota rispetto alla base)

contiene il vettore rosso (asse di simmetria del parallelogramma) centro dell'end-effector

centro del parallelogramma

$$\ell = P - P_i - B_i - L_i$$



Per le prime gomme
vale:

$$L = \begin{cases} 0 \\ -L \cos \vartheta_1 \\ -L \sin \vartheta_1 \end{cases}$$

$$\begin{cases} x - P_{ix} - B_{ix} + 0 \\ y - P_{iy} - B_{iy} + L \cos \vartheta_1 \\ z + 0 + 0 + L \sin \vartheta_1 \end{cases} = \begin{cases} a \\ b + L \cos \vartheta_1 \\ c + L \sin \vartheta_1 \end{cases}$$

elevando al quadrato (norme del vettore)

$$\ell^2 = a^2 + (b + L \cos \vartheta_1)^2 + (c + L \sin \vartheta_1)^2$$

$$\ell^2 = a^2 + b^2 + L^2 c^2 \vartheta_1^2 + 2bL \cos \vartheta_1 + c^2 + L^2 s^2 \vartheta_1^2 + 2cL \sin \vartheta_1$$

$$\ell^2 = a^2 + b^2 + L^2 + 2bL \cos \vartheta_1 + 2cL \sin \vartheta_1$$



parametro
geometrico

Equazione delle forme

$$E \cos \vartheta_1 + F \sin \vartheta_1 + G = 0$$

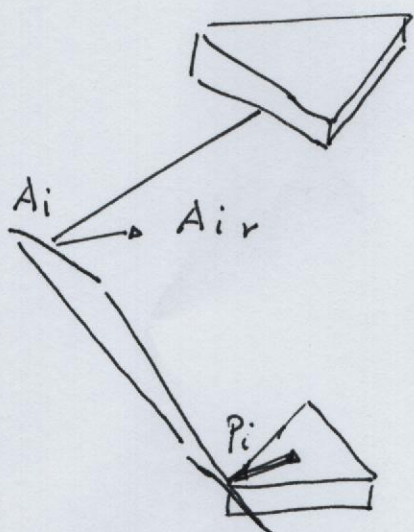
• Si risolve con le formule di WEIRSTRASS

$$t = \operatorname{tg} \left(\frac{\vartheta}{2} \right) \quad \cos \vartheta = \frac{1-t^2}{1+t^2} \quad \sin \vartheta = \frac{2t}{1+t^2}$$

Analisi cinematica diretta

11

(P13 di Detekin.pdf)



- $\mathcal{S}_1, \mathcal{S}_2$ e \mathcal{S}_3 vengono forniti
perciò i punti A_i sono noti

$$A_i = B_i + L$$

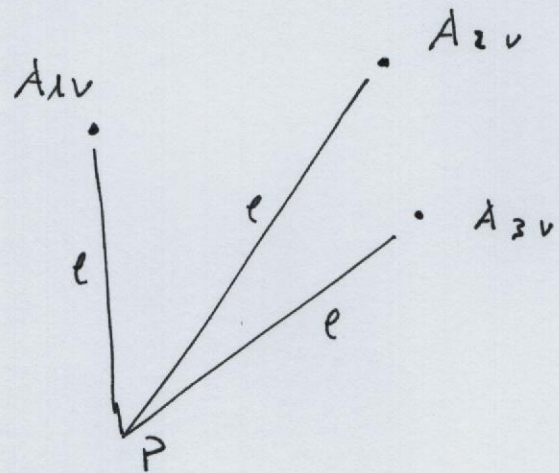
funzione di \mathcal{S}_i

- calcolo di A_{iv}

$$A_{iv} = A_i - P_i$$

punto di attacco
sulla piettaforma

- Il centro dell' end-effect è l'
intersezione di 3 sfere (di raggio "e") centrate in A_{iv}



Il sistema cartesiano che si ottiene è del tiro:

$$\left\{ \begin{array}{l} (x - x_1)^2 + (y - y_1)^2 + (z - z_1)^2 = e^2 \\ (x - x_2)^2 + (y - y_2)^2 + (z - z_2)^2 = e^2 \\ (x - x_3)^2 + (y - y_3)^2 + (z - z_3)^2 = e^2 \end{array} \right.$$

$$\left. \begin{array}{l} x \\ y \\ z \end{array} \right\} = \left. \begin{array}{l} x_i \\ y_i \\ z_i \end{array} \right\} = A_{iv}$$